

## شبیه‌سازی عددی فرآیند سوراخ‌کاری استخوان جمجمه توسط جت آب\*

مقاله پژوهشی

شاهدالسادات علوی<sup>(۱)</sup> مسعود ضیائی راد<sup>(۲)</sup> نیما جمشیدی<sup>(۳)</sup>

**چکیده** در این مقاله، مسئله سوراخ‌کاری سطح استخوان جمجمه انسان به شکل نیم‌کره با استفاده از جت آب به صورت عددی شبیه‌سازی سه‌بعدی شده است. شبیه‌سازی شامل هر دو بخش جریان و انتقال حرارت جت آب برخوردی و فرایند تراشه‌برداری سطح می‌شود. برای مدل‌سازی جریان دو فاز جت، از روش حجم سیال و برای سوراخ‌کاری سطح استخوان، از معادلات جانسون-کوک در روش اجزای محدود استفاده شده است. نتایج به دست آمده نشان می‌دهد که ضرایب فشار و اصطکاک روی سطح برخورد، بستگی به فاصله نازل از سطح دارند و فشار با کمتر شدن فاصله نازل از سطح در نقطه سکون افزایش می‌یابد. هم‌چنین با افزایش فاصله نازل از سطح، عدد ناسلت محلی در امتداد شعاع نیم‌کره و ماکزیمم ناسلت در نقطه سکون هر دو کاهش می‌یابد. اثر قطر نازل بر ضرایب فشار و اصطکاک نیز بررسی شد و دیده شد که فشار با افزایش قطر نازل در نقطه سکون افزایش خواهد یافت. تغییر سرعت جت نیز نشان داد که تغییر ۲۰ درصدی این سرعت، اثر قابل توجهی بر ضرایب فشار و اصطکاک ندارد، ولی عدد ناسلت را افزایش می‌دهد. در مدل‌سازی فرایند سوراخ‌کاری سطح استخوان، از خواص و ضرایب واقعی جنس استخوان از جمله ضریب پواسن و مدول یانگ استفاده شد. مقایسه توزیع تنش ایجاد شده در محل با دو معیار ترسکا و فون مایز نشان می‌دهد که براساس پارامترهای پیشنهادی، سوراخ‌کاری به طرز مطلوبی انجام می‌پذیرد.

**واژه‌های کلیدی** جت آب، سوراخ‌کاری جمجمه، شبیه‌سازی عددی، روش حجم محدود، روش اجزای محدود.

### مقدمه

جت آب یا واتر جت یک عنوان عمومی برای تجهیزاتی است که از یک جریان فشار بالای آب برای اهداف برش‌کاری و تمیزکاری بهره می‌گیرند. جت ساینده، هم‌چنین زیرشاخه‌ای از جت آب است که از مواد ساینده برای تسریع فرایند برش‌کاری استفاده می‌کند. در مقابل آن، جت آب خالص به جت آبی اطلاق می‌شود که در آن از مواد ساینده استفاده نشده است. تفاوت این دو در تماس بین جت آب و مواد ساینده است که سبب می‌شود عمق نفوذ سوراخ‌کاری جت آب خالص، کمتر از برش جت آب سایشی باشد. یکی از مهم‌ترین مزایای برش با جت آب این است که این فرایند ذاتاً دارای خاصیت برش‌کاری سرد است و ایجاد

گرما نمی‌کند. با همین ویژگی، جت آب انواع مواد را به راحتی برش می‌دهد، درحالی‌که در سایر روش‌های برش‌کاری، احتمال سوختن، ذوب شدن یا ترک برداشتن ماده وجود دارد. علاوه بر این بعضی از فرایندهای گرمازا باعث تاب برداشتن و سخت شدن قطعه کار و یا انتشار گازهای خطرناک از آن می‌شوند. هنگام برش با جت آب، امکان تنظیم سرعت پیش‌روی بر روی ماده وجود دارد. هنگام سوراخ‌کاری جت به لبه ماده برخورد می‌کند و از طرف مقابل خارج می‌شود. در واقع، جت آب پس از رسیدن به پایین سوراخ، راه خود را از میان ماده ادامه نمی‌دهد، بلکه مسیرش را ۱۸۰ درجه تغییر می‌دهد.

\* تاریخ دریافت مقاله ۱۴۰۰/۷/۲۷ و تاریخ پذیرش آن ۱۴۰۰/۱۰/۱۹ می‌باشد.

(۱) دانشجوی کارشناسی ارشد، دانشگاه اصفهان، دانشکده فنی مهندسی، گروه مهندسی مکانیک.

(۲) نویسنده مسئول: دانشیار، دانشگاه اصفهان، دانشکده فنی مهندسی، گروه مهندسی مکانیک.

(۳) استادیار، دانشگاه اصفهان، دانشکده فنی مهندسی، گروه مهندسی پزشکی.

در مطالعات پیشین در زمینه سوراخ کاری استخوان می توان مقالات متعددی یافت که عمدتاً به بحث سوراخ کاری با مته پرداخته اند. از طرفی مقالاتی هم در مورد سوراخ کاری با جت آب وجود دارد که بیشتر مربوط به مطالعه سوراخ کاری سطوح فلزی هستند. با این حال محدود کارهایی هم بر روی سوراخ کاری استخوان با جت آب وجود دارد که اکثراً مطالعات تجربی می باشند.

تو و همکاران [1] از یک مدل المان محدود الاستوپلاستیک دینامیکی برای شبیه سازی فرآیند سوراخ کاری استخوان با سرمته استفاده کردند. آنها درجه حرارت های مختلف سرمته را برای بررسی نقش آن در افزایش دما و توزیع تنش تماسی استخوان در حین سوراخ کاری مورد بررسی قرار دادند. نتایج آنها نشان داد که سرمته با دمای اولیه پایین تر می تواند باعث افزایش درجه حرارت استخوان در طول سوراخ کاری شود. هم چنین رابطه ای بین دمای اولیه سرمته و افزایش دما توسط آنها پیشنهاد شد.

شکوری و معرفت [2] با استفاده از تئوری ماشین کاری، حرارت حاصل از فرآیند سوراخ کاری را محاسبه و به وسیله تئوری واینر، سهم حرارت ورودی به استخوان را تخمین زدند. آزمون های سوراخ کاری آنها بر روی نمونه های استخوان گاو انجام پذیرفت؛ تغییرات دما در محل سوراخ اندازه گیری شد و با به کارگیری روش انتقال حرارت رسانشی معکوس، میزان حرارت ورودی محاسبه و با مقدار تئوری آن مقایسه شد. نتایج آنها نشان داد که مقادیر تئوری و تجربی در شرایط فرآیندی مختلف، به یکدیگر نزدیک هستند و ادعا کردند که تئوری های ماشین کاری و واینر، به خوبی قادر به پیش بینی میزان حرارت ورودی به استخوان و تغییرات دما در موضع سوراخ هستند.

شکوری و همکاران [3] تأثیر خنک کاری با گاز را بر کاهش دمای موضع سوراخ کاری استخوان به صورت تجربی بررسی کردند. آنها آزمون هایی با استفاده از تزریق

مستقیم گاز نیتروژن به وسیله مته با خنک کاری داخلی انجام دادند. نتایج به دست آمده نشان داد که به کارگیری خنک کننده گازی، از دیاد دمای سوراخ کاری را تا ۱۵ درجه سانتی گراد کاهش می دهد و از وقوع نکروز حرارتی جلوگیری می کند. هم چنین حداکثر از دیاد دمای سوراخ کاری معمولی را ۵۶ درجه سانتی گراد گزارش کردند، در حالی که با استفاده از خنک کننده گازی، میزان از دیاد دما ۴۳ درجه سانتی گراد به دست آمد. تحلیل آماری آنها نیز نشان داد که در سوراخ کاری با خنک کاری مستقیم گاز نیتروژن، تغییرات دما مستقل از سرعت چرخش مته است.

لیو و همکارانش [4] مدل عددی شکست سنگ توسط جت آب را بر اساس روش المان محدود (FEM) و هیدرو دینامیک ذرات نرم (SPH) ارائه کردند. در مطالعه آنها فشار ضربه جت آب برای قطر و سرعت های مختلف جت بررسی شد. سپس اثر قطر جت آب، زاویه جت و سرعت جت بر روی کارایی شکست سنگ مورد مطالعه قرار گرفت و دلایل آن از طریق تجزیه و تحلیل ضربه حرکت سنگ، انرژی سنگ، عمق برش و عرض برش متوسط نشان داده شد. نتایج آنها نشان داد که بازده شکست سنگ در ابتدا با زاویه جت افزایش و سپس کاهش می یابد، به طوری که زاویه جت حدود ۱۰ درجه برای شکستن سنگ، بهینه ترین گزینه است.

در مقاله لی و همکاران [5] یک ماژول تجزیه و تحلیل کوپلینگ جامد-سیال در نرم افزار انسیس مورد استفاده قرار گرفت تا اثرات تنش حرارتی بر روی شکست سنگ با استفاده از جت آب نشان داده شود و فاصله بهینه بین نازل و سنگ محاسبه شود. آنها مشاهده کردند که روند تغییرات درجه حرارت، با فاصله بهینه بین نازل و سنگ منطبق است. هم چنین کوپلینگ میدان های دما و فشار می تواند منطقه شکستن سنگ توسط جت آب را افزایش دهد.

حقیقی و غلام پور [6] فرآیند سوراخ کاری استخوان را که شامل سه ماده و سه قطر مته و سه عمق حفاری،

به دو منطقه شامل منطقه انحراف جت و منطقه اینرسی غالب تقسیم می‌شوند. در منطقه اول، عدد ناسلت سکون و قطر پرش هیدرولیکی با کاهش فاصله بین نازل تا صفحه، افزایش می‌یابد، درحالی‌که فشار سکون به دلیل اثر انحراف جت زیاد می‌شود.

باگل و همکارانش [9] ویژگی‌های انتقال حرارت برخورد جت آب آزاد روی یک سطح منحنی به شکل نیم استوانه محدب را به صورت تجربی بررسی کردند. در آزمایش‌های آنها دو نسبت انحنای مختلف ( $D/d$ ) در نظر گرفته شد که  $d$  قطر داخلی لوله دایره‌ای نازل و  $D$  قطر خارجی سطح محدب نیم‌استوانه‌ای است. فاصله جت تا سطح روی  $H/d = 4$  و  $d = 6\text{mm}$  ثابت شد. اعداد رینولدز از  $17036$  تا  $42590$  برای این مطالعه تجربی در نظر گرفته شد و خطوط اعداد ناسلت برای سه عدد رینولدز مختلف و دو نسبت انحنای مختلف ارائه شدند. مطالعه آنها نشان داد که انحنای سطح بر نرخ دفع گرما از نزدیکی نقطه سکون تأثیر گذار است. همچنین دریافتند که انتقال حرارت در ناحیه دور از محل برخورد در جهت پیرامونی، به‌ویژه در اعداد رینولدز بالا، تحت تأثیر انحنای قرار دارد.

بررسی مقالات مرور شده و سایر مقالات موجود در زمینه سوراخ‌کاری نشان می‌دهد که کارهای گذشته بیشتر بر روی سوراخ‌کاری استخوان با مته و یا سوراخ‌کاری فلزات با جت آب تمرکز داشته‌اند. از این رو خلاصه‌انجام یک مطالعه عددی جامع در زمینه سوراخ‌کاری استخوان با جت آب، شامل شبیه‌سازی جریان جت برخوردی و حل عددی فرآیند سوراخ‌کاری، احساس می‌شود. در این مقاله، ضمن شبیه‌سازی عددی برخورد جت جریان مغشوش به سطح با استفاده از روش حجم محدود، با به‌کارگیری روش المان محدود و معیارهای فون میز و ترسکا، فرآیند سوراخ‌کاری نیز مدل‌سازی شده است و اثر پارامترهای مختلفی هم‌چون فاصله نازل از سطح، قطر و سرعت نازل مورد بررسی قرار گرفته است.

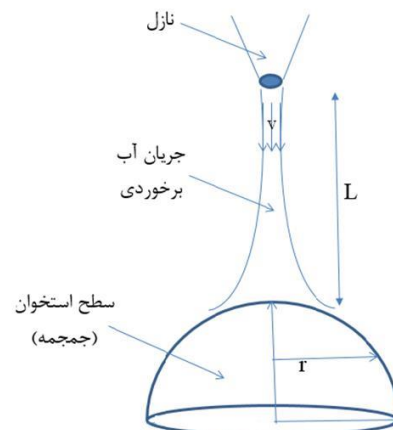
چهار حالت خنک‌کننده و ده زاویه حفاری می‌شود، بر روی استخوان‌های درشت‌نی و ران با استفاده از روش اجزای محدود شبیه‌سازی کردند. پس از اطمینان از صحت نتایج شبیه‌سازی با استفاده از مقایسه با داده‌های تجربی، تأثیر متغیرهای فوق را بر تغییرات سه پارامتر حداکثر دما، نیروی رانش و گشتاور و همچنین ماندگاری دما مورد ارزیابی قرار دادند. آنها دریافتند که افزایش قطر مته و عمق حفاری و کاهش زوایای حفاری منجر به افزایش پارامترهای نام‌برده می‌شود و شرایط حفاری استخوان نامطلوب‌تر می‌شود. مته با مواد فولادی ضد زنگ و با خنک‌کننده‌های گازی (به‌ویژه گاز  $\text{CO}_2$ ) منجر به شرایط مطلوب‌تری برای حفاری استخوان، حتی در قطرهای مته و عمق حفاری‌های بالاتر می‌گردد. آنها همچنین در این مقاله، روابطی بین دما، نیروی رانش و گشتاور با زوایای حفاری در موده‌های خنک‌کاری مختلف برای برنامه‌ریزی ربات‌های حفاری در حین جراحی‌های ارتوپدی با هدف دستیابی به زاویه دقیق بهینه در حین جراحی ارائه کردند.

دی‌نونوتا و همکاران [7] با استفاده از شبیه‌سازی گردابه‌های بزرگ (LES) انتقال جرم و جریان سیال مغشوش جت آزاد مستطیلی شکل هوا را شبیه‌سازی کردند. شبیه‌سازی عددی آنها برای اعداد رینولدز  $3400$  و  $6800$  به صورت سه‌بعدی و برای اعداد رینولدز  $10400$  و  $22000$  به صورت دوبعدی انجام شد. نتایج محاسبه سرعت‌های متوسط و لحظه‌ای آشفتگی در خط مرکزی توسط آنها، تطابق خوبی با اندازه‌گیری‌های تجربی داشت.

کوران و همکاران [8] انتقال گرما و هیدرودینامیک برخورد جت آب آزاد را روی سطح یک صفحه تخت به صورت تجربی بررسی کردند. در مطالعه آنها اثرات فاصله بین نازل تا صفحه - که برابر یا کمتر از قطر نازل باشد - بر عدد ناسلت، قطر پرش هیدرولیکی و فشار در نقطه سکون بررسی شد. نتایج آنها نشان داد که عدد ناسلت سکون نرمالیزه، فشار و قطر پرش هیدرولیکی

## مدل فیزیکی و فرضیات

نمایی از هندسه مسئله و جریان جت برخوردی به سطح آن در شکل (۱) آورده شده است. هندسه سه بعدی مورد نظر، نیم کره ای به قطر  $D$  است که به عنوان مدل ساده ای از جمجمه سر انسان در نظر گرفته می شود. جت آب برای سوراخ کاری استخوان، با سرعت ثابت  $V$  از نازلی با سطح مقطع گرد به قطر  $d$  که در فاصله  $L$  از بالاترین نقطه نیم کره قرار گرفته است، در امتداد شعاع نیم کره به آن برخورد می کند و ضمن حفظ تماس با سطح، به حرکت خود به پیرامون محل برخورد ادامه می دهد. دمای سطح کره ثابت فرض می شود. همچنین جریان جت دائم و تراکم ناپذیر در نظر گرفته می شود. بر اساس سرعت جت آزاد مورد مطالعه و قطر خروجی نازل، عدد رینولدز در محدوده جریان مغشوش سیال قرار خواهد گرفت. هوای محیط اطراف جت نیز ساکن است و در شرایط استاندارد قرار دارد. اثرات گرانش باتوجه به سرعت بالای جت و غالب بودن جریان جابه جایی اجباری در جریان جت، قابل صرف نظر کردن است.



شکل ۱. نمایی از برخورد یک جت آب به سطح نیم کره ای شکل جمجمه

علاوه بر آن، عملیات سوراخ کاری سطح نیز پایا فرض می شود؛ به این معنی که از فرایند تراشه برداری صرف نظر می شود و تنها اثر نیروی وارد بر سطح از

طرف جت آب در شکستن المان های سطح جامد در نظر گرفته خواهد شد.

## مدل سازی ریاضی

**معادلات حاکم بر جریان جت سیال.** در روش حجم سیال برای جریان های دوفازی تراکم ناپذیر، یک معادله انتقال که در بردارنده نسبت حجمی فازها است به طور هم زمان به همراه معادلات پیوستگی و مومنتوم حل می شود [10]؛ لذا سه معادله حاکم بر جریان جت عبارتند از:

$$\nabla \cdot \mathbf{v} = 0 \quad (1)$$

$$\frac{\partial \gamma}{\partial t} + \nabla \cdot (\mathbf{v}\gamma) = 0 \quad (2)$$

$$\frac{\partial(\rho \mathbf{v})}{\partial t} + \nabla \cdot (\rho \mathbf{v} \mathbf{v}) = -\nabla p + \nabla \cdot \boldsymbol{\tau} \quad (3)$$

که  $\mathbf{v}$  بردار سرعت سه بعدی و  $\boldsymbol{\tau}$  در معادله مومنتوم، تانسور تنش لزج است و در حالت کلی (جریان مغشوش سه بعدی) به صورت زیر نوشته می شود:

$$\boldsymbol{\tau} = \mu [\nabla \mathbf{v} + (\nabla \mathbf{v})^T] \quad (4)$$

که این تانسور در جریان مغشوش، در بردارنده هم بستگی های بین نوسانات سرعت نیز هست. همچنین،  $\mu$  لزجت کل و  $\nabla \mathbf{v}$  گرادینان بردار سرعت سه بعدی است. در معادله (۲)  $\gamma$  کسر حجمی است که برابر است با:

$$\gamma = \begin{cases} 0 & \text{فاز بخار} \\ 0 < \gamma < 1 & \text{در سطح مشترک} \\ 1 & \text{فاز مایع} \end{cases} \quad (5)$$

معادله انتقال اضافی محاسبه خواهد شد. با تغییر اندیس‌های  $i$  و  $j$  و  $k$  در این معادله، از ۱ تا ۳، معادلات انتقال لازم برای محاسبه هم‌بستگی‌های نوسانات سرعت به دست می‌آیند.

از آنجا که مدل RSM اثرات انحنای خطوط جریان، چرخش و تغییرات سریع در میزان کرنش را به شکلی دقیق‌تر از مدل‌های یک معادله و دو معادله‌ای حساب می‌کند، پتانسیل بیشتری برای ارائه پیش‌بینی‌های دقیق برای جریان‌های پیچیده دارد. از جمله کاربردهای RSM می‌توان به جریان سیکلون، جریان‌های شدیداً چرخشی در احتراق، مسیرهای چرخشی جریان، جت‌های برخوردی و جریان‌های ثانویه در کانال‌ها اشاره کرد.

لازم به ذکر است که در نواحی نزدیک به دیواره، مدل آشفتگی برای تخمین دقیق‌تر نوسانات سرعت، به یک تابع دیواره تحلیلی مجهز می‌شود که در این مطالعه از تابع دیواره استاندارد برای ناحیه لایه مرزی مجاور سطح استفاده شده است.

**معادلات حاکم بر روش جانسون- کوک.** معادلات بنیادی دارای ثابت‌هایی هستند که منظور از تعیین رفتار دینامیکی مواد، یافتن مقادیر این ثابت‌ها و تعیین ضرایب معادلات برای ماده مورد نظر در شرایط فرآیندی خاص است. برای تعیین این ضرایب، می‌توان از دستگاه تست دو میله‌ای فشاری هاپکینسون و یا از تست‌های ماشین‌کاری متعامد استفاده کرد. برای تحلیل فرآیند حاضر، از رابطه جانسون- کوک استفاده شده است که در آن، ارتباط بین تنش، کرنش و میدان‌های دما توسط رابطه زیر تعریف می‌شود:

$$\sigma = (A + B\epsilon^n) \times \left[ 1 + C \ln \left( \frac{\dot{\epsilon}}{\dot{\epsilon}_0} \right) \right] \times \left[ 1 - \left( \frac{T - T_0}{T_m - T_0} \right) m \right] \quad (9)$$

$$D = \Sigma \left( \frac{\Delta \bar{\epsilon}^{pl}}{\bar{\epsilon}_f^{pl}} \right) \quad (10)$$

که در آن:

در اینجا یک مخلوط دوفازی همگن داریم که خواص آن به صورت میانگین وزنی از نسبت حجمی به دست می‌آیند. این بدان معنی است که در نواحی تک‌فازی، این خواص مشابه خواص همان فاز و در نواحی سطح مشترک دو فاز، به صورت میانگین وزنی از نسبت حجمی نوشته می‌شوند [10].

$$\rho = \gamma \rho_l + (1 - \gamma) \rho_v \quad (6)$$

$$\mu = \gamma \mu_l + (1 - \gamma) \mu_v \quad (7)$$

در این روابط، زیرنویس‌های  $l$  و  $v$  به ترتیب بیان‌کننده فاز مایع و بخار هستند.

هم‌بستگی بین نوسانات سرعت در تانسور تنش بایستی توسط یک مدل اغتشاشی مناسب محاسبه شوند. برای مسئله حاضر از مدل آشفتگی انتقال تنش رینولدز (RSM) که برای جریان‌های جت برخوردی مناسب است، استفاده می‌شود. این مدل پیچیده‌ترین نوع مدل‌سازی تلاطم مبتنی بر روش متوسط‌گیری رینولدز (RANS) است که در نرم‌افزار انسیس ارائه شده است. در این روش مؤلفه‌های هم‌بسته با حل معادلات انتقال برای هر یک از آنها محاسبه می‌شوند. به این ترتیب، هفت معادله انتقال اضافی علاوه بر معادلات حاکم (۱-۳) در جریان سه‌بعدی مورد نیاز است [11].

$$\begin{aligned} \frac{\partial}{\partial t} (\rho \overline{u'_i u'_j}) + \frac{\partial}{\partial x_k} (\rho u_k \overline{u'_i u'_j}) = & \\ - \frac{\partial}{\partial x_k} (\rho \overline{u'_i u'_j u'_k} + p' (\delta_{kj} u'_i + \delta_{ik} u'_j)) + & \\ \frac{\partial}{\partial x_k} \left( \mu \frac{\partial}{\partial x_k} \overline{u'_i u'_j} \right) - \rho \left( \overline{u'_i u'_k} \frac{\partial u_j}{\partial x_k} + \right. & \\ \left. \overline{u'_j u'_k} \frac{\partial u_i}{\partial x_k} \right) + p' \left( \frac{\partial u'_i}{\partial x_j} + \frac{\partial u'_j}{\partial x_i} \right) - & \\ 2\mu \frac{\partial u'_i}{\partial x_k} \frac{\partial u'_j}{\partial x_k} - 2\rho \Omega_k (\overline{u'_i u'_m} \epsilon_{ikm} + & \\ \overline{u'_j u'_m} \epsilon_{jkm}) & \end{aligned} \quad (8)$$

که در آن از جملات بویانسی صرف‌نظر شده است. در معادله فوق  $u'$  و  $p'$  به ترتیب معرف نوسانات سرعت و فشار و  $\epsilon$  ترم اتلاف لزج است که با استفاده از یک

جابه جایی معادلات انتقال ممتوم و انرژی با استفاده از روش QUICK که دقت مناسبی برای جریان های پیچیده در شبکه های بدون ساختار دارد، گسسته سازی می شود. مدل آشفتگی مناسب برای این مسئله نیز همان طور که در بخش معادلات حاکم ذکر شد، مدل انتقال تنش رینولدز (RSM) است. این روش بر مبنای مطالعات گذشته می تواند تخمین دقیق تری از مؤلفه های نوسانی جریان آشفته در جریان های غیرایزوتروپیک و حوزه های محاسباتی دارای انحنای سطح شدید ارائه دهد.

**میدان محاسباتی و شبکه بندی حوزه حل.** برای مسئله حاضر، از شبکه بی سازمان برای گسسته سازی دامنه محاسباتی استفاده شده است. شکل (۲) حوزه محاسباتی جریان سیال را روی سطح نیم کره به همراه شرایط مرزی اعمال شده نشان می دهد و در شکل (۳) شبکه بندی بدون ساختار به کار رفته برای این میدان حل قابل مشاهده است.

برای دستیابی به دقت مناسب در حل عددی، بررسی استقلال از شبکه محاسباتی ضروری است؛ به این معنا که تغییر در ابعاد شبکه تأثیری بر نتایج حل عددی ندارد.

به منظور بررسی استقلال نتایج از شبکه محاسباتی، از چهار شبکه با تعداد سلول ۸۱۳,۶۰۰، ۴۷۸,۵۰۰، ۵۷۴,۲۰۰ و ۱,۳۰۱,۷۶۰ استفاده شد. مقایسه این چهار شبکه برای عدد ناسلت متوسط جت برخوردی، با فاصله نازل از سطح برابر با ۰/۵ میلی متر و قطر نازل ۱ میلی متر در سرعت جریان ۲۳۲ متر بر ثانیه انجام شده است.

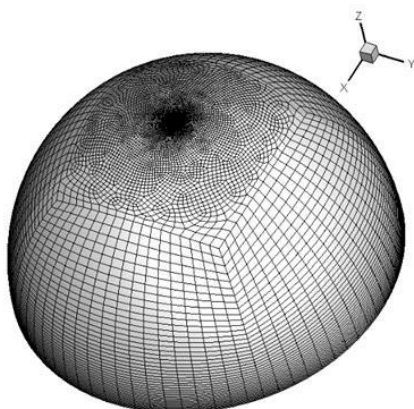
مشاهده شد که عدد ناسلت متوسط سطح نیم کره در شبکه های با ۸۱۳,۶۰۰ و ۱,۳۰۱,۷۶۰ سلول محاسباتی، به هم نزدیک تر هستند و اختلافی به میزان ۴/۸ درصدی نسبت به هم، در مقایسه با اختلاف ۱۰/۷ درصدی شبکه های اول و دوم و اختلاف ۹/۷ درصدی شبکه های دوم و سوم نسبت به هم دارند. بنابراین با ریزتر شدن شبکه و افزایش تعداد سلول محاسباتی از

$$\bar{\epsilon}_f^{pl} = [d_1 + d_2 \exp(d_3 \frac{p}{q})] \times [1 + d_4 \ln(\frac{\epsilon_f^{pl}}{\epsilon_0^{pl}})] \times [1 + d_5 \frac{T-T_0}{T_m-T_0}] \quad (11)$$

معادله (۹) تنش واقعی را محاسبه می کند که برای شبیه سازی المان محدود در نرخ کرنش های بسیار بالا مناسب است. در این رابطه، عبارت اول بیانگر نرخ کرنش سختی، عبارت دوم بیانگر جریان تنش در نرخ کرنش های بالا و عبارت سوم معرف نرخ نرم شدگی مواد در اثر براده برداری است. پارامترهای A, B, C, n, m همان ثابت های مواد هستند که از جداول مهندسی قابل استخراج هستند.  $T_0$ ،  $T_m$  و T به ترتیب دمای ذوب ماده، دمای محیط و دمای ماده هستند [12, 13]. در مدل جانسون-کوک، جدا شدن براده از قطعه کار نیز محاسبه می شود و این شکست دینامیکی زمانی حادث می شود که معیار شکست (D) از مقدار یک تجاوز کند. این پارامتر در معادله (۱۰) تعریف شده است. در این رابطه  $\Delta \bar{\epsilon}_f^{pl}$  بیانگر افزایش کششی پلاستیک و  $\bar{\epsilon}_f^{pl}$  معرف کششی است که منجر به جدا شدن براده از قطعه کار می گردد و با رابطه (۱۱) بیان می شود. در این رابطه پارامترهای شکست به صورت تجربی در آزمایشگاه مورد تست واقع می شوند. هم چنین p در این رابطه، تنش فشاری و q تنش فون مایز است [14].

### روش شبیه سازی عددی

در این تحقیق، شبیه سازی عددی جریان جت با استفاده از نرم افزار انسیس (Ansys) و مدل سازی فرایند سوراخ کاری سطح با استفاده از نرم افزار آباکوس (Abaqus) انجام گرفته است. معادلات حاکم و شرایط مرزی مربوط به جریان سیال بر اساس روش حجم محدود و استفاده از الگوریتم SIMPLE برای میدان کوپل سرعت-فشار حل شده اند. برای گسسته سازی معادله فشار از روش میان یابی PRESTO استفاده شده است. روش مذکور برای جریان در میدان های دارای انحنای سطح زیاد توصیه شده است. هم چنین جملات

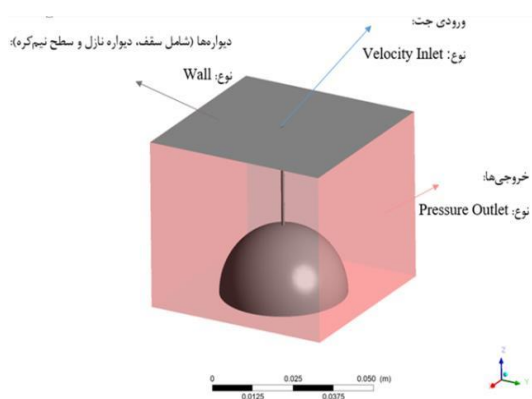


ب

شکل ۳ (الف) شبکه بندی میدان محاسباتی برای جریان سیال جت برخوردی به سطح نیم کره، (ب) المان بندی سطح نیم کره برای فرایند سوراخ کاری روی سطح

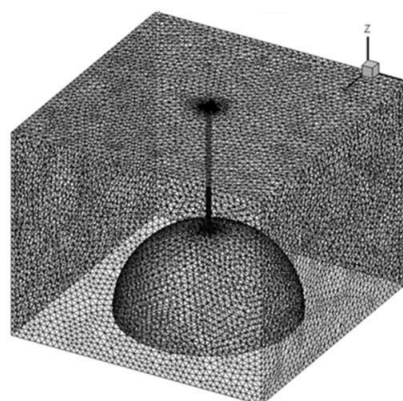
**اعتبارسنجی حل عددی.** برای اعتبارسنجی نتایج شبیه سازی جریان جت از نتایج عددی و آزمایشگاهی هو و ژانگ [15] بهره برده شد. بدین منظور توزیع ضریب فشار و عدد ناسلت روی سطح برخورد در امتداد شعاع نیم کره بین دو مطالعه مورد مقایسه قرار گرفت. نتایج برای سرعت جت  $290 \text{ m/s}$  (معادل عدد رینولدز  $19,478$ ) و فاصله نازل تا سطح  $L/D=25$  به دست آمده اند. البته لازم به ذکر است که شبیه سازی عددی انجام شده توسط هو و ژانگ [15] به صورت دوبعدی (یعنی جریان جت عمودی برخوردی به سطح یک نیم دایره) صورت گرفته است، اما در کار حاضر شبیه سازی به صورت سه بعدی انجام شده است. همان طور که در شکل (۴) نشان داده شده است، توزیع فشار بر روی سطح برخورد با شبیه سازی دوبعدی مرجع مذکور دارای اختلاف است؛ به این معنی که حل دوبعدی آنها پراکندگی بیشتری را در توزیع ضریب فشار پیرامون نقطه سکون پیش بینی کرده و هم چنین در نواحی دور از نقطه برخورد، ضرایب فشار کمتر از صفر به دست آمده است، در حالی که نتایج حل سه بعدی حاضر در این نواحی متفاوت است. با این حال هر دو مطالعه مقدار ماکزیمم یکسانی برای ضریب فشار در نقطه برخورد به دست آورده اند. مقایسه تغییرات عدد ناسلت در شکل

۱،۳۰۱،۷۶۰ به  $813,600$  نتایج تغییر چندانی نمی کند. در نتیجه انتخاب شبکه ای با تعداد  $813,600$  سلول محاسباتی، از نظر زمان و حجم محاسبات مقرون به صرفه تر است.



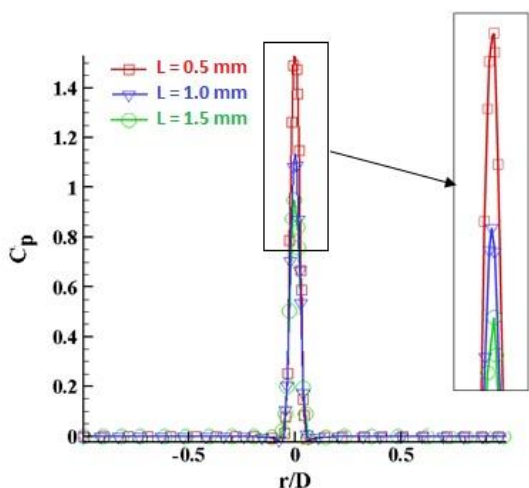
شکل ۲ دامنه محاسباتی و شرایط مرزی به کاررفته در شبیه سازی جریان جت برخوردی به سطح

هم چنین با توجه به استفاده از تابع دیواره استاندارد برای حل لایه مرزی مجاور دیواره، لازم است تا شبکه بندی در نزدیک دیوار به گونه ای تنظیم شود که  $y^+$  (عدد رینولدز محلی بر مبنای فاصله از دیوار) در محدوده مجاز ( $300$  تا  $3000$ ) قرار گیرد. در این مورد نیز با تغییر اندازه شبکه در محدوده لایه مرزی و رسم  $y^+$  شبکه ای برای انجام محاسبات انتخاب شد که این خصوصیت را داشته باشد.



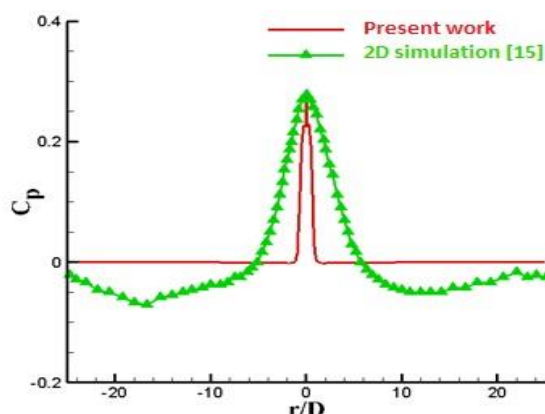
الف

تغییر فاصله نازل از سطح تأثیر چندانی بر ضریب فشار در نقاط دور از نقطه سکون نمی گذارد، ولی به طور مشخص با کاهش فاصله نازل از سطح، فشار در نقطه سکون افزایش می یابد، چرا که جریان ممتوم بالاتری در برخورد با سطح در فواصل کمتر وارد خواهد کرد. افزایش این فشار با کاهش فاصله هم چنین به صورت صعودی است، یعنی همان طور که در شکل دیده می شود، فاصله مقدار قله ضریب فشار در نقطه سکون در فواصل نازل ۰/۵ تا ۱ میلی متر بیشتر از فواصل ۱ تا ۱/۵ میلی متر است. ناحیه نزدیک محل برخورد به عنوان ناحیه انحراف شناخته می شود که در آن، سرعت محوری به سرعت کاهش و فشار استاتیک به شدت افزایش می یابد. در نقطه سکون ( $r/D = 0$ )، سرعت به صفر می رسد و ضریب فشار به حداکثر مقدار خود می رسد و سپس با شتاب گرفتن جریان در امتداد سطح برخورد، به سرعت کاهش می یابد.

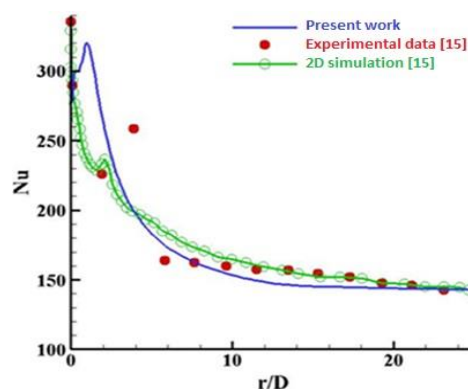


شکل ۶ ضریب فشار بر حسب شعاع نیم کره به ازای سه فاصله مختلف نازل از سطح آن، در سرعت جت ۲۹۰ متر بر ثانیه و قطر نازل ۱ میلی متر

(۵) با شبیه سازی عددی و همچنین اندازه گیری های تجربی همان مرجع نشان می دهد که شبیه سازی عددی سه بعدی حاضر تطابق بهتری با داده های تجربی به خصوص در محدوده مجاور نقطه برخورد دارد.



شکل ۴ تغییرات ضریب فشار در امتداد شعاع نیم کره، مقایسه کار حاضر با حل عددی دوبعدی هو و ژانگ



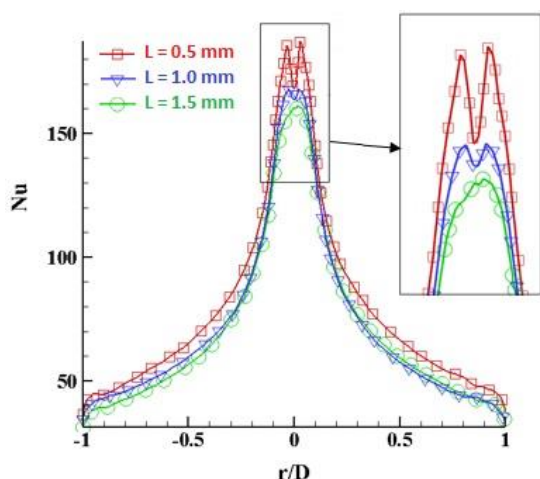
شکل ۵ تغییرات ضریب انتقال حرارت در امتداد شعاع نیم کره، مقایسه مطالعه حاضر با حل عددی دوبعدی و داده های تجربی هو و ژانگ

## بررسی نتایج و بحث

اثر فاصله نازل از سطح برخورد. برای بررسی اثر فاصله نازل از سطح برخورد، سه فاصله ۰/۵، ۱ و ۱/۵ میلی متر مورد بررسی قرار گرفته است. شکل (۶) توزیع ضریب فشار را در امتداد شعاع نیم کره به ازای این سه فاصله نازل نشان می دهد. مشاهده می شود که اگرچه

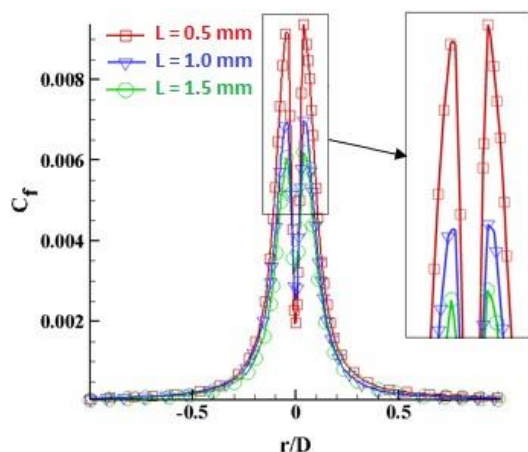


انتقال حرارت در این شکل نیز نشان می‌دهد که با کاهش فاصله نازل از سطح، به دلیل سرعت بیشتر برخورد جت با سطح، ضریب انتقال حرارت بیشتر می‌شود و تبادل حرارت سطح با جت بهتر انجام می‌گیرد. این موضوع مزیت بارز سوراخ کاری با جت آب را نسبت به سایر روش‌ها نشان می‌دهد که با وجود کاهش فاصله نازل با سطح برای بهره بردن از فشار بیشتر در سوراخ کاری، تبادل حرارت نیز بهتر انجام می‌شود که این خود مانع از افزایش بیش از حد دمای سطح استخوان و آسیب دیدن آن می‌گردد.



شکل ۸ ضریب انتقال حرارت برحسب شعاع نیم‌کره به‌ازای سه فاصله مختلف نازل از سطح آن، در سرعت جت ۲۹۰ متر بر ثانیه و قطر نازل ۱ میلی‌متر

**اثر قطر نازل.** در این بخش اثر تغییر قطر نازل به‌ازای سه مقدار قطر ۰/۶، ۰/۸ و ۱ میلی‌متر بررسی شده‌است. در شکل‌های ۹، ۱۰ و ۱۱ تأثیرپذیری ضرایب فشار، اصطکاک و انتقال حرارت از تغییر قطر نازل کاملاً مشهود است. افزایش قطر نازل در سرعت‌های یکسان، به‌معنای افزایش دبی جرمی جریان جت برخوردی به سطح و هم‌چنین پوشش سطح بیشتری از سطح در برخورد جت به سطح است. در شکل (۹) مشاهده می‌شود که مقدار ضریب فشار در نقطه سکون با افزایش قطر نازل تقریباً به‌طور خطی افزایش می‌یابد. با این حال در سایر نقاط سطح نیم‌کره، این ضریب تأثیرپذیری

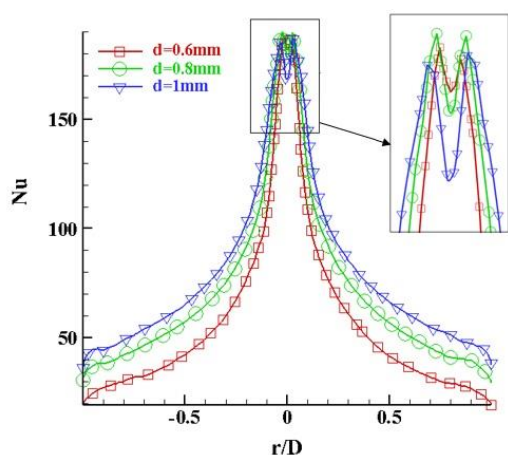


شکل ۷ ضریب اصطکاک برحسب شعاع نیم‌کره به‌ازای سه فاصله مختلف نازل از سطح آن، در سرعت جت ۲۹۰ متر بر ثانیه و قطر نازل ۱ میلی‌متر

در شکل (۷) تغییرات ضریب اصطکاک پوسته‌ای در امتداد سطح برخورد در فواصل مختلف نازل از سطح رسم شده‌است. این ضریب با فاصله گرفتن از نقطه سکون (محل سرعت صفر)، در فاصله کوتاهی به سرعت از یک مقدار نزدیک به صفر تا بیشینه مقدار خود افزایش می‌یابد و سپس مجدداً با شیب تندی در جهت شعاع کاهش می‌یابد. لذا مقدار بیشینه ضریب اصطکاک در برخورد جت با سطح نیم‌کره، در شعاع کوچکی در اطراف نقطه سکون اتفاق می‌افتد. هم‌چنین شکل (۷) نشان می‌دهد که با نزدیک شدن جت به صفحه برخورد، ضریب اصطکاک نیز به‌طور صعودی در حال افزایش است، زیرا تنش برشی وارد بر سطح با کاهش فاصله نازل، به‌طور کلی روندی افزایشی دارد.

تغییرات عدد ناسلت در امتداد سطح نیم‌کره به‌ازای فواصل مختلف نازل از سطح در شکل (۸) نشان داده شده‌است. این شکل ثابت می‌کند که ضریب انتقال حرارت محلی نیز روند تغییراتی همانند ضریب اصطکاک در امتداد شعاع دارد. به این معنی که در فاصله شعاعی کوچکی از محل برخورد، مقدار بیشینه خود روی سطح نیم‌کره را تجربه می‌کند. پس از آن، این ضریب با شیب تندی در امتداد سطح نیم‌کره کاهش خواهد یافت. تغییر فاصله نازل از سطح بر ضریب

توزیع عدد ناسلت محلی روی سطح نیم کره نیز به ازای قطرهای مختلف نازل در شکل (۱۱) نشان داده شده است. می توان گفت که با افزایش قطر نازل، به طور کلی انتقال حرارت افزایش یافته است.

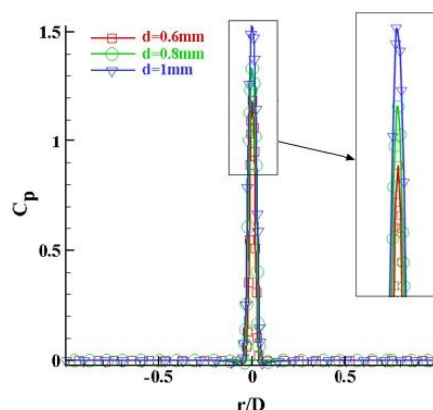


شکل ۱۱ ضریب انتقال حرارت برحسب شعاع نیم کره به ازای سه قطر مختلف نازل، در سرعت جت ۲۹۰ متر بر ثانیه و فاصله نازل ۰/۵ میلی متر از سطح

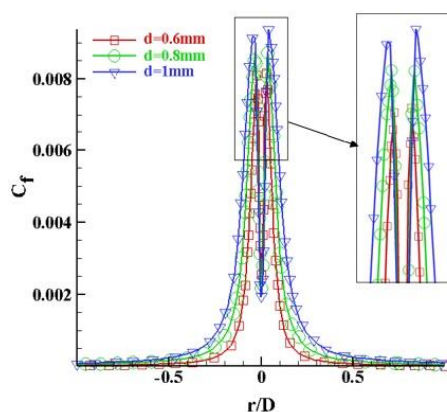
با این حال توجه به محل ماکزیمم عدد ناسلت در مجاورت نقطه سکون نشان می دهد که در بین سه قطر نازل مطالعه شده، بیشترین مقدار عدد ناسلت مربوط به قطر نازل میانی، یعنی قطر ۰/۸ میلی متر بوده است. این موضوع نشان می دهد که افزایش قطر نازل همواره سبب افزایش ماکزیمم انتقال حرارت در محل برخورد جت به سطح نمی شود و مقدار بهینه ای برای قطر نازل برای بیشینه تبادل حرارت در این ناحیه وجود دارد که در این حالت، قطر ۰/۸ میلی متر این ویژگی را داراست.

**اثر سرعت جریان جت.** در مطالعه اثر سرعت جت بر جریان و انتقال حرارت جت برخوردی به سطح، سه سرعت ۲۳۲، ۲۹۰ و ۳۴۸ متر بر ثانیه بررسی شده است. در این حالت، فاصله نازل از سطح مقدار ثابت ۰/۵ میلی متر و قطر نازل، مقدار ثابت ۱ میلی متر در نظر گرفته شده است. در این حالت مشخص شد که بازه تغییرات حدوداً ۵۰ درصدی سرعت جت، تأثیر چندانی

زیادی از قطر نازل نخواهد داشت. شکل (۱۰) نشان می دهد که ضریب اصطکاک روی سطح نیم کره نیز در همه نقاط با افزایش قطر نازل جت افزایش یافته است. میزان افزایش ضریب اصطکاک تقریباً برای همه نقاط روی سطح به یک میزان با قطر نازل تغییر می کند. توجه ویژه به محدوده محل برخورد که سوراخ کاری انجام می شود ثابت می کند که با تغییر قطر نازل در سرعت ثابت و در نتیجه تغییر در دبی جرمی جت آب خروجی، ضریب اصطکاک سطحی به یک اندازه تغییر را تجربه می کند؛ یعنی ارتباط آن با قطر نازل تقریباً خطی است.



شکل ۹ ضریب فشار برحسب شعاع نیم کره به ازای سه قطر مختلف نازل، در سرعت جت ۲۹۰ متر بر ثانیه و فاصله نازل ۰/۵ میلی متر از سطح



شکل ۱۰ ضریب اصطکاک برحسب شعاع نیم کره به ازای سه قطر مختلف نازل، در سرعت جت ۲۹۰ متر بر ثانیه و فاصله نازل ۰/۵ میلی متر از سطح

مهم‌ترین بخش در شبیه‌سازی فرایند سوراخ‌کاری، یافتن ضرایب شکست مناسب برای مدل استخوان مورد نظر است، به طوری که براساس معیارهای تنش انتخاب شده، شکست المان‌های سطح تحت اثر نیروی وارد از طرف جت آب اتفاق بیفتد. این کار با تکرارهای متعدد حل عددی امکان‌پذیر می‌شود. ضرایب شکست به‌دست‌آمده طی این فرایند براساس معیار جانسون-کوک در جدول (۲) ارائه شده‌است.

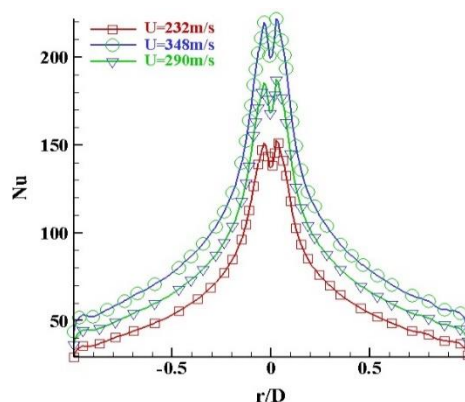
جدول ۲ ضرایب شکست انتخاب‌شده در معادلات جانسون-

کوک برای مدل استخوان مورد نظر

$d_1$	$d_2$	$d_3$	$d_4$	$d_5$
-۰/۷۷	۱/۴۵	-۰/۷۷	۰	۰

در شکل‌های (۱۳) کانتورهای به‌دست‌آمده برای تنش حاصل از شبیه‌سازی فرایند سوراخ‌کاری استخوان با جت آب به ترتیب براساس معیارهای فون مایز و ترسکا ارائه شده‌است. نتیجه این شبیه‌سازی نشان داد که ماکزیمم تنش اعمالی معیار فون مایز و ترسکا برای استخوان به ترتیب ۱۳۵ و ۱۵۵ مگاپاسکال است. البته به‌علت محافظه‌کارتر بودن معیار ترسکا، مقدار عددی تنش این معیار بیشتر از معیار فون مایز می‌باشد، ولی عدد به‌دست‌آمده در معیار فون مایز دقیق‌تر است. مشاهده کانتورهای تنشی ارائه‌شده در شکل (۱۳) درک بهتری از نواحی با تمرکز تنش و هم‌چنین نحوه توزیع آن در محل سوراخ‌کاری براساس این دو معیار می‌دهند. از آنجایی که براساس ویژگی‌هایی که برای استخوان تعریف شد، ماکزیمم تنش‌های ایجادشده بر اثر برخورد جت آب به سطح استخوان بیش از حد تحمل تنش استخوان است، شکست المان‌های سطح و در نتیجه سوراخ‌کاری اتفاق خواهد افتاد.

بر ضرایب فشار و اصطکاک نگذاشته‌است و لذا از رسم نمودار آنها صرف‌نظر شد. با این حال، تأثیر سرعت بر عدد ناسلت قابل توجه است و نتیجه در شکل (۱۲) نشان داده شده‌است. مشاهده می‌شود که افزایش سرعت جت، به‌طور کلی سبب افزایش انتقال حرارت محلی روی سطح نیم‌کره شده‌است. هم‌چنین درمورد افزایش سرعت نیز مشاهده می‌شود که عدد ناسلت با سرعت جت رابطه‌ای مستقیم و تقریباً خطی دارد.



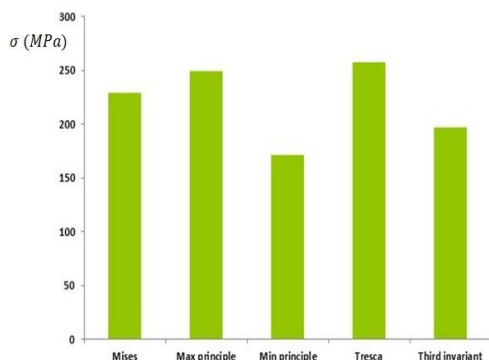
شکل ۱۲ ضریب انتقال حرارت برحسب شعاع نیم‌کره به‌زای سه سرعت مختلف جت، در قطر نازل ۱ میلی‌متر و فاصله نازل ۰/۵ میلی‌متر از سطح

**فرآیند سوراخ‌کاری.** در شبیه‌سازی فرایند سوراخ‌کاری سطح، به‌منظور کاهش حجم محاسبات و شبکه‌بندی، تنها بخشی از نیم‌کره که در مجاورت محل سوراخ‌کاری قرار می‌گیرد و طبق نتایج ارائه‌شده در بالا، بیشتر تحت تأثیر برخورد جت به سطح قرار می‌گیرد، به‌عنوان حوزه محاسباتی در نرم‌افزار آباکوس المان‌بندی شده‌است. هم‌چنین خصوصیات فیزیکی مواد برای ورود به نرم‌افزار، براساس مرجع [16] در جدول (۱) ارائه شده‌است.

جدول ۱ ضرایب فاز پلاستیک در معیار جانسون کوک برای مدل استخوان مورد نظر [16]

A (MPa)	B (MPa)	n	M
۵۰	۱۰۱	۰/۰۸	۰

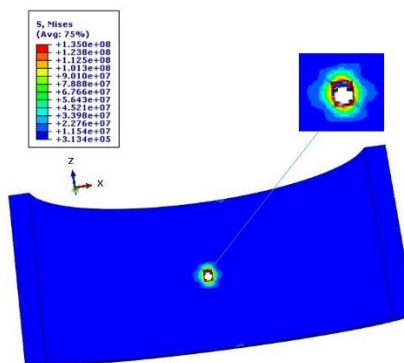
به ویژه برای مواد ترد اهمیت دارد که مقدار آنها با تنش تسلیم ماده مقایسه می شود، درحالی که معیارهای فون مایز و ترسکا مبتنی بر محاسبه تنش برشی هستند و برای مواد منعطف کارایی بهتری دارند. با این حال، معیار فون مایز نتایج دقیق تری نسبت به معیار ترسکا ارائه می دهد. محتاط تر بودن معیار ترسکا در فرایند سوراخ کاری سطح استخوان نسبت به معیار فون مایز و در عین حال نزدیک بودن نتایج آن به مقدار تنش اصلی در این نمودار به خوبی قابل مشاهده است.



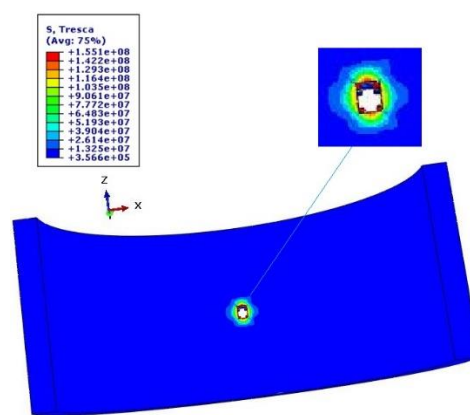
شکل ۱۴ مقایسه مقادیر ماکزیمم تنش بر اساس معیارهای مختلف در فرایند سوراخ کاری استخوان با جت آب

### نتیجه گیری

در این مطالعه مسئله سوراخ کاری استخوان با جت آب به صورت عددی شبیه سازی شده است. برای مدل سازی سه بعدی جریان جت مغشوش برخوردی به سطح نیم کره، از روش حجم محدود به همراه مدل آشفتنه انتقال تنش رینولدز و برای شبیه سازی فرایند سوراخ کاری، از روش المان محدود و حل معادلات جانسون-کوک استفاده شد. برای صحت سنجی بخش جریان جت نیز مقایسه ای با مطالعه عددی دوبعدی و داده های تجربی موجود در مطالعات گذشته صورت پذیرفت. مهم ترین نتایج به دست آمده در این مطالعه را می توان به صورت زیر جمع بندی کرد:



الف



ب

شکل ۱۳ کانتور تنش ایجاد شده طی فرایند سوراخ کاری سطح بر اساس معیار (الف) فون مایز و (ب) ترسکا

کانتورها هم چنین حکایت از عدم وجود نواحی با تمرکز تنش بسیار بالا در اطراف محل برخورد طی فرایند سوراخ کاری با جت آب دارند که این موضوع، مزیت این روش را نسبت به سوراخ کاری با مته نشان می دهد.

در نمودار میله ای ۱۴، ماکزیمم تنش اعمالی برای سوراخ کاری استخوان با معیارهای مختلف تنشی با هم مقایسه شده اند. معیارهای فون مایز، ترسکا و مقادیر تنش های اصلی ماکزیمم و مینیمم در این نمودار رسم شده اند. در این شکل هم چنین ناوردای سوم (Third invariant) که معرف تنش های انحرافی است و در بررسی آسیب یا شکست المان ها در فرایند سوراخ کاری اهمیت دارد نیز دیده می شود. محاسبه تنش های اصلی

به ترتیب ۱۳۵ و ۱۵۵ مگاپا سکال به دست آمد که معیار ترسکا محافظه کارانه تر و معیار فون مایرز دقیق تر است. باتوجه به این که ماکزیمم تنش های ایجادشده بر اثر برخورد جت آب به سطح استخوان بیش از حد تحمل تنش استخوان است، سوراخ کاری به درستی و باتوجه به توزیع تنش، به طور یکنواختی انجام می پذیرد.

### واژه نامه

Bone Perforation	سوراخ کاری استخوان
Numerical Simulation	شبیه سازی عددی
Impinging jet	جت برخوردی
Two-phase flow	جریان دوفازی
Finite-volume method	روش حجم محدود
Finite-element method	روش اجزای محدود
Chipping	تراشه برداری
Stagnation point	نقطه سکون
Volume of fluid method	روش حجم سیال
Reynolds Stress Model	مدل تنش رینولدز

- ضریب فشار با کمتر شدن فاصله نازل از سطح در محدوده نقطه سکون افزایش می یابد. در ناحیه نزدیک صفحه برخورد، سرعت محوری به سرعت کاهش و فشار استاتیک به شدت افزایش می یابد. همچنین عدد نوسلت محلی نیز در جهت افزایش شعاع از حداکثر مقدار خود در محدوده نقطه سکون کمتر می شود و با افزایش فاصله نازل از سطح برخورد، مقدار ماکزیمم آن در نقطه سکون نیز کاهش می یابد.

- ضریب فشار با افزایش قطر نازل در نقطه سکون افزایش می یابد. مقدار بیشینه ضریب اصطکاک نیز در همه فواصل نازل تا سطح، به ازای قطر نازل بزرگتر بیشتر است. در راستای شعاعی هم همیشه نازل با قطر بزرگتر، فشار بیشتری بر سطح اعمال می کند.

تغییرات سرعت جت تا میزان ۵۰ درصد، تأثیر چندانی بر ضرایب فشار و اصطکاک نخواهد گذاشت، ولی هرچه سرعت افزایش یابد، ضریب انتقال حرارت نیز با نسبت یکسانی افزوده خواهد شد.

- مدل سازی سوراخ کاری سطح استخوان با جت آب نشان داد که ضرایب انتخاب شده برای شکست المان های استخوان در معیار جانسون- کوک به خوبی فرایند سوراخ کاری را شبیه سازی می کنند. ماکزیمم تنش اعمالی معیار فون مایرز و ترسکا برای استخوان،

### مراجع

1. Tu, Y.K., Chen, L.W., Huang, C.C., Chen, Y.C., Tsai, H.H. and Lin, L.C., "Finite Element Simulation of Drill Bit and Bone Thermal Contact During Drilling", *Proceedings of the 2nd International Conference on Bioinformatics and Biomedical Engineering, IEEE.*, pp. 1268-1271, (2008).
2. Shakouri, E. and Maerefat, M., "Theoretical and Experimental Investigation of Heat Generation in Bone Drilling: Determination of the Share of Heat Input to the Bone Using Machining Theory and Inverse Conduction Heat Transfer", *Modares Mechanical Engineering*, Vol. 17, No.7, Pp. 131-140, (2017).
3. Shakouri, E., Haghghi Hassanali, H. and Gholampour, S., "Experimental Evaluating and Statistical Modeling of Temperature Elevation in Bone Drilling with Internal Cooling with Gas", *Modares Mechanical Engineering*, Vol. 17, No.3, Pp. 47-54, (2017).

4. Liu, X., Liu, S. and Ji, H., "Numerical Research on Rock Breaking Performance of Water Jet Based on SPH", *Powder Technology*, Vol. 286, pp. 181-192, (2015).
5. Li, M., Ni, H., Wang, G. and Wang, R., "Simulation of Thermal Stress Effects in Submerged Continuous Water Jets on the Optimal Standoff Distance During Rock Breaking", *Powder Technology*, Vol. 320, pp. 445-456, (2017).
6. Haghighi, H.H. and Gholampour, S., "Finding the Optimal Drill Bit Material and Proper Drilling Condition for Utilization in the Programming of Robot-Assisted Drilling of Bone", *CIRP Journal of Manufacturing Science and Technology*, Vol. 31, pp. 34-47, (2020).
7. Di Venuta, I., Petracci, I., Angelino, M., Boghi, A. and Gori, F., "Numerical Simulation of Mass Transfer and Fluid Flow Evolution of a Rectangular Free Jet of Air", *International Journal of Heat and Mass Transfer*, Vol. 117, pp. 235-251, (2018).
8. Kuraan, A.M., Moldovan, S.I. and Choo, K., "Heat Transfer and Hydrodynamics of Free Water Jet Impingement at Low Nozzle-to-Plate Spacings", *International Journal of Heat and Mass Transfer*, Vol. 108, pp. 2211-2216, (2017).
9. Baghel, K., Sridharan, A. and Murallidharan, J.S., "Heat Transfer Characteristics of Free Surface Water Jet Impingement on a Curved Surface", *International Journal of Heat and Mass Transfer*, Vol. 164, 120487, (2021).
10. Hirt, C.W. and Nichols B.D., "Volume of Fluid (VOF) Method for the Dynamics of Free Boundaries", *Journal of Computational Physics*, Vol. 39, No. 1, pp. 201-225, (1981).
11. Hanjalic, K. and Launder, B., "A Reynolds Stress Model of Turbulence and its Application to Thin Shear Flows", *Fluid Mechanics.*, Vol. 52, pp. 609-638, (1972).
12. Lotfi, M., Amini, S. and Aghaei, M., "3D FEM Simulation of Tool Wear in Ultrasonic Assisted Rotary Turning", *Ultrasonics*, Vol. 88, pp.106-114, (2018).
13. Cakir, F.H., Gurgen, S., Sofuoglu, M.A., Celik, O.N. and Kushan, M.C., "Finite Element Modeling of Ultrasonic Assisted Turning of Ti6Al4V Alloy", *Procedia-Social and Behavioral Sciences*, Vol. 195, pp. 2839-2848, (2015).
14. Murugesan, M. and Jung, D.W., "Johnson Cook Material and Failure Model Parameters Estimation of AISI-1045 Medium Carbon Steel for Metal Forming Applications", *Materials*, Vol. 12, No. 4, pp. 609, (2019).
15. Hu, G., Zhang, L., "Experimental and Numerical Study on Heat Transfer with Impinging Circular Jet on a Convex Hemispherical Surface", *Heat Transfer Engineering*, Vol. 28, No. 12, pp. 1008-1016, (2007).
16. Santiuste, C., Rodríguez-Millán, M., Giner, E. and Miguélez, H., "The Influence of Anisotropy in Numerical Modeling of Orthogonal Cutting of Cortical Bone", *Composite Structures*, Vol. 116, pp. 423-431, (2014).

## Numerical Simulation of Cranial Bone Perforation Process Using Water Jet

Shahed Al-Sadat Alavi<sup>1</sup>, Masoud Ziaei-Rad<sup>2</sup>,  
Nima Jamshidi<sup>3</sup>

### 1. Introduction

Waterjet is a general term for the equipment that uses a high pressure water flow for cutting and cleaning purposes. One of the most important advantages of cutting with waterjet is that this process is inherently cold cutting and does not generate heat. Having this feature, the waterjet can easily perforate all kinds of materials include human body's bones, while in other cutting methods there is a possibility of burning, melting or cracking of the material. During the cutting with a waterjet, it is possible to adjust the forward speed on the material.

A review of the previous studies shows that most of the studies have focused on bone perforation by a drill or drilling a metal with a water jet. Therefore, numerical simulation of impinging jet flow on a bone as well as the perforation process cannot be found in the literature. In this study, in addition to the numerical simulation of turbulent flow of an impinging jet on a bone surface using finite volume method, finite element approach along with stress criteria are also applied to model the perforation process. Moreover, the effect of different parameters such as nozzle distance from the surface, nozzle diameter, and the flow velocity are investigated.

### 2. Physical Model and Assumptions

Figure 1 shows a schematic of the problem geometry and impinging jet flow on the surface. Three-dimensional geometry of a hemisphere with a diameter of  $D$  is considered as a simple model for the human skull. The waterjet strikes the surface radially at a constant velocity  $V$  from a circular cross-section nozzle with diameter  $d$ , located at a distance  $L$  from the highest point of the hemisphere, and then flows circumferentially on the surface. The surface temperature is assumed to be constant. Moreover, the flow of the jet is considered steady and incompressible.

Based on the free jet velocity and nozzle diameter, the Reynolds number will be in the range of turbulent flow regime. The ambient air is static and in standard condition. The effects of gravity can be neglected due to high velocity and dominant force-convection flow of the jet.

Moreover, the surface perforation process is assumed to be steady. This means that chipping process is neglected and only the effect of waterjet force on the surface in breaking the solid elements will be considered.

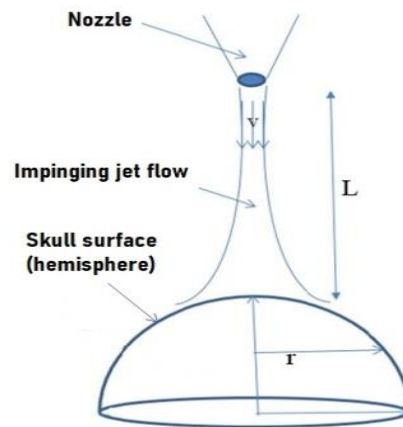


Figure 1. Schematic of impinging water jet on cranial bone surface

### 3. Mathematical Modeling and Numerical Procedure

In this research, numerical solution of the governing continuity, momentum and energy equations for the jet flow are performed using Ansys software. Also, the governing Johnson-cook equations for surface drilling process are solved by Abaqus software. The governing equations and boundary conditions of the fluid flow are solved based on finite volume method, and SIMPLE algorithm is applied for the velocity-pressure field coupling. Moreover, PRESTO interpolation is used to discretize the pressure gradient term. This method is recommended for the flow fields with high streamline curvature. Also, the convection terms in momentum and energy equations are discretized using QUICK scheme, which provides a good accuracy for complex flows on unstructured grid. The preferred turbulence model for this problem is Reynolds Stress Model (RSM). Based on previous

<sup>1</sup>. MSc. Student, Mechanical Engineering Department, Faculty of Engineering, University of Isfahan, Isfahan, Iran

<sup>2</sup>. Corresponding author. Associate Professor, Mechanical Engineering Department, Faculty of Engineering, University of Isfahan, Isfahan, Iran. Email: m.ziaeirad@eng.ui.ac.ir

<sup>3</sup>. Assistant Professor, Biomedical Engineering Department, Faculty of Engineering, University of Isfahan, Isfahan, Iran

studies, this model gives a more accurate estimation of fluctuating components in non-isotropic turbulent flows with high-curvature computational domain.

**4. Results and Discussion**

**4.1. Impinging jet flow**

Figure 2 shows the variation of Nusselt number along the hemisphere surface at different nozzle distance from the surface. This figure clarifies that local heat transfer coefficient has the same trend of variation with the friction coefficient. This means that it reaches its maximum value on the hemisphere surface at a small radial distance from the stagnation point. Then, this coefficient decreases with a steep slope along the surface. The effect of changing in nozzle distance from the surface on heat transfer coefficient also indicates that by reducing the distance, due to increase in jet velocity impinging the surface, the heat transfer coefficient increases and therefore, heat exchange between the jet and the surface is improved. This shows the obvious advantage of waterjet drilling compared to other methods, where by reducing the distance between the nozzle and the surface to gain more pressure in drilling process, the heat transfer is also improved and prevents the bone temperature enhancement and resulting damage.

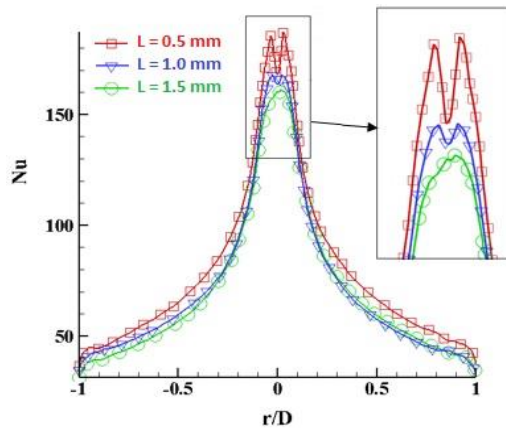


Figure 2. Radial change of heat transfer coefficient at different nozzle distance from the surface, for jet speed of 290 m/s and nozzle diameter of 1mm

The variation of local Nusselt number on the hemisphere surface at different nozzle diameters is also plotted in Figure 3. It can be seen that by increasing the nozzle diameter, the heat transfer rate is increased. However, considering the location of maximum Nusselt number in the vicinity of stagnation point, we can see that among the three studied nozzle diameters, the highest Nusselt number belongs to the middle one, that is, 0.8mm. This proves that increasing the nozzle diameter does not always increase the

maximum heat transfer from the surface. Hence, there is an optimal value for the nozzle diameter for maximum heat transfer rate, which here is 0.8mm diameter nozzle.

**4.2. Perforation process**

During the simulation, in order to reduce the computational costs, only a part of the hemisphere adjacent to drilling region, which affected by the jet flow is considered as the computing domain in Abaqus. The physical properties of the cranial bone to be inserted in the software are presented in Table 1.

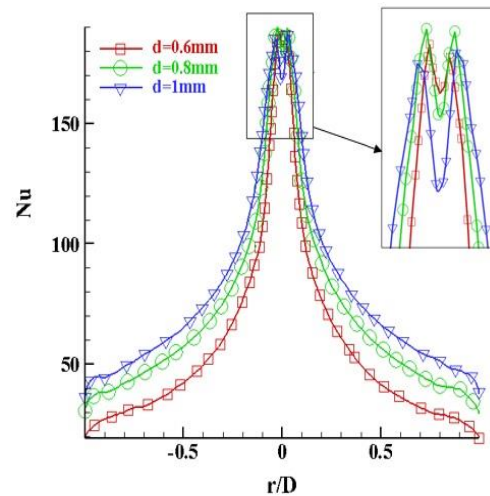


Fig. 3. Radial change of heat transfer coefficient at different nozzle diameters, for a jet speed of 290 m/s and a nozzle distance of 0.5mm

Table 1. Plastic phase coefficients in Johnson Cook's criterion for the bone model

A (MPa)	B (MPa)	n	M
50	101	0.08	0

The most important part in simulating drilling process is to find the appropriate failure indices for the bone, so that according to the selected stress criteria, the failure of surface elements occurs due to the force applied by the waterjet. This is possible during an iterative numerical procedure. Table 2 summarizes the failure coefficients obtained finally in this process based on Johnson-Cook's criterion.

Table 2. Selected failure coefficients in Johnson Cook's equations for the bone model

d <sub>1</sub>	d <sub>2</sub>	d <sub>3</sub>	d <sub>4</sub>	d <sub>5</sub>
0.77	1.45	0.77	0	0

Figure 4 shows the contours of stress obtained from the simulation of waterjet drilling process based on Mises criterion. The results show that maximum applied stresses of Mises and Tresca criteria for the bone are 135 and 155 MPa,



respectively. Actually, since the Tresca criterion is more conservative, the stress value of this criterion is higher than Mises criterion, while the obtained value for Mises criterion is more accurate. The stress contours presented in Figure 4 gives a good understanding of higher-stress regions as well as the stress distribution in drilling area on the bone surface.

Based on the properties defined for the bone, the maximum stresses created by the waterjet on the surface are much higher than the yield stress of the bone. Thus, the failure of surface elements will occur as a result of drilling process.

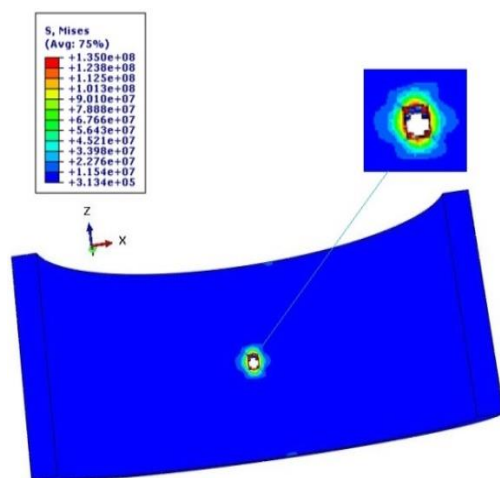


Figure 4. Stress contour during bone surface drilling process according to Mises criterion

## 5. Conclusion

The most important results obtained in this study can be summarized as follows:

1. The local Nusselt number decreases in radial direction from its maximum value in the vicinity of stagnation point. By increasing the nozzle distance from the surface, its maximum value decreases at the stagnation point;
2. As the waterjet velocity increases, the heat transfer coefficient is also increased by the same ratio;
3. The selected coefficients for the failure of surface elements in Johnson-Cook's criterion can properly simulate the drilling process. Due to the fact that the maximum stress applied to the surface by the waterjet is higher than the bone's yield stress, drilling process is performed uniformly according to the stress distribution.

